MgO 和 Al₂ O₃ 含量对铁酸钙生成的影响

王志星 师学峰 胡长庆 汪晓磊 杨锦涛

(华北理工大学冶金与能源学院,河北省现代冶金技术重点实验室,河北 唐山 063210)

摘 要:铁酸钙作为高碱度烧结矿的黏结相,对烧结矿冶金性能的影响极其重要。研究了其生成过程受 MgO、 Al_2O_3 的影响。根据铁酸钙研究基础在 CaO、 Fe_2O_3 固定配比原料中加入不同量的 MgO 和 Al_2O_3 烧结后进行 X 射线衍射分析,并结合金相显微镜的观察,分析 MgO、 Al_2O_3 的对铁酸钙生成的影响。研究表明: 在 $0.5\% \sim 2.5\%$ 范围内,随 MgO 含量的增多,铁酸钙先增多后减少,在 $1.5\% \sim 2.0\%$ 取得最大值,且 MgO 含量为 2.0% 时 矿相结构较为理想; Al_2O_3 可以促进铁酸钙中 Fe_2O_3 的固溶和二元铁酸钙中的液相生成,从而促进铁酸钙向复合铁酸钙转化。

关键词:铁酸钙; MgO; Al₂O₃; 矿相结构; 烧结液相

中图分类号:TF046.4 文献标志码:A 文章编号:1004-7638(2018)06-0116-06

DOI:10.7513/j.issn.1004-7638.2018.06.019 开放科学(资源服务)标识码(OSID):



听语音 聊科研

Effects of MgO and Al₂O₃ on the Formation of Calcium Ferrite

Wang Zhixing , Shi Xuefeng , Hu Changqing , Wang Xiaolei , Yang Jintao

(School of Metallurgy and Energy North China University of Science and Technology Hebei Key Laboratory of Modern Metallurgy Technology Tangshan 063210 Hebei China)

Abstract: Calcium ferrite as binder phase of high basicity sinter has greatinfluence in the metallurgical properties of sinter. In this paper the influence of MgO and Al_2O_3 on the formation process was studied. According to the precious study on calcium ferrite , different amounts of MgO and Al_2O_3 were added to the fixed ratio raw materials of CaO and Fe_2O_3 . X ray diffraction analysis and metallographic microscope was carried out after sintering , to analyze the effects of MgO and Al_2O_3 on the formation of calcium ferrite. When MgO is n the range of $0.5\% \sim 2.5\%$, with the increasing of MgO content , calcium ferrite first increases and then decreases , and reaches the maximum when MgO is between $1.5\% \sim 2.0\%$. When the content of MgO is 2.0%, the ore pahse structure is ideal. Al_2O_3 can promote the solid solution of Fe_2O_3 in calcium ferrite and the formation of liquid phase in two calcium ferrite , so as to promote the transformation of calcium ferrite into silico–ferrite of calcium and aluminum.

Key words: sintering calcium ferrite, MgO, Al₂O₃, mineralogical constitution

0 引言

高炉炼铁工艺是我国钢铁企业发展的重要基础。随着近年来炉料配比的不断改善,高碱度烧结

矿作为高炉炼铁的主要炉料,仍占入炉料的70%~ 80%^[1-2] 因此提高烧结矿冶金性能对入炉炉料品位 乃至钢铁企业的能效、收益都有着重要的影响。 铁酸钙作为高碱度烧结矿的黏结相,是其具有较好

收稿日期:2017-12-01

基金项目:河北省自然科学基金-钢铁联合基金(E2015209124);河北省高校百名优秀创新人才支持计划。

作者简介:师学峰(1973—),河北唐山人,博士,讲师,主要从事冶金相关技术研究,E-mail:shixuefeng_0808@163.com。

还原性和强度的保证。郭兴敏^[3] 等通过控制不同碱度和 Al_2O_3 含量的条件来探究 MgO 对铁酸钙生成的影响,得出一定的碱度和 Al_2O_3 含量会使 MgO 的影响作用减弱; 丁祥^[4-5]、吴胜利^[6-8] 等在一定 $CaO \times Fe_2O_3$ 比值下,添加不同量的 SiO2,通过试验研究了铁酸钙的生成过程,并以此为基础分别考察了 SiO2 对铁酸钙生成和 $CaO \times SiO_2$ 对铁酸钙流动性的影响。由于近年来高铝、高硅矿石的使用比例增加和镁质熔剂的添加^[9-11],使人们对 $SiO_2 \times MgO$ 和 Al_2O_3 的研究力度不断加大,但 MgO 和 Al_2O_3 对铁酸钙生成的影响还少有报道。

笔者采用化学纯试剂,固定 $CaO_xFe_2O_3$ 的摩尔比 在此基础上分别添加不同量 $MgO_xAl_2O_3$ 进行烧结 对烧结后的试样进行 X 射线衍射和金相显微镜分析 探究不同 MgO 和 Al_2O_3 含量对铁酸钙矿相种类、含量和形态结构的影响。

1 试验原料及方案

本试验采用化学纯试剂 ,以摩尔比为 1:1 的 $CaO_xFe_2O_3$ 为主要原料 ,分别加入不同量 MgO_x Al_2O_3 进行焙烧 ,由于 CaO 不稳定 ,在空气中易吸水变质 ,用 $CaCO_3$ 来取代 CaO 加入 ,配比见表 1 。

表 1 试验原料配比(质量分数)
Table 1 Raw material ratios

试验编号	$\mathrm{Fe_2O_3}$	CaO	CaCO ₃	MgO	Al_2O_3
R1	74.01	25.99	46.39		
R2	73.64	25.86	46.16	0.5	
R3	73.27	25.73	45.92	1	
R4	72.90	25.60	45.69	1.5	
R5	72.53	25.47	45.46	2	
R6	72.16	25.34	45.23	2.5	
R7	72.90	25.60	45.69		1.5
R8	72.53	25.47	45.46		2
R9	72.16	25.34	45.23		2.5
R10	71.79	25.21	45.00		3
R11	71.42	25.08	44.76		3.5

2 试验设备与方法

试验设备如图 1 所示。将准备好的试验药品 $CaO_xFe_2O_3_xMgO_xAl_2O_3$ 放入烘箱中烘干 2 h ,以确保药品的干燥 ,冷却后的药品按表 1 所示配比进行称量混合 ,并放入研钵中 ,加入少许酒精 ,研磨 30 min 以上 ,使混合更加细和均匀。然后将混匀的药品进行压块 ,以 25 MPa 压力将药品压制成烧结用

的小饼状,再次放入烘箱烘干 1 h 左右,最后放入高温管式炉中进行烧结。升温条件为 10 % /min 升温至 1 230 % ,并在 1 230 % 恒温 2 h ,以确保反应充分,焙烧气氛为空气。随炉冷却后,取出试样。



图 1 可控气氛管式炉 Fig.1 Controlled atmosphere tube type furnace

把焙烧后的试样分为两部分,将其中一部分试样进行切割、镶样、砂纸打磨、抛光、喷金等一系列操作,然后在金相显微镜下观察矿相结构及形态变化。另一部分进行破碎、研磨,并筛分至 200 目(74 μm)以下,做 X 射线衍射分析,检测物相种类和含量。

3 试验结果与讨论

3.1 MgO 含量对铁酸钙生成机理的影响

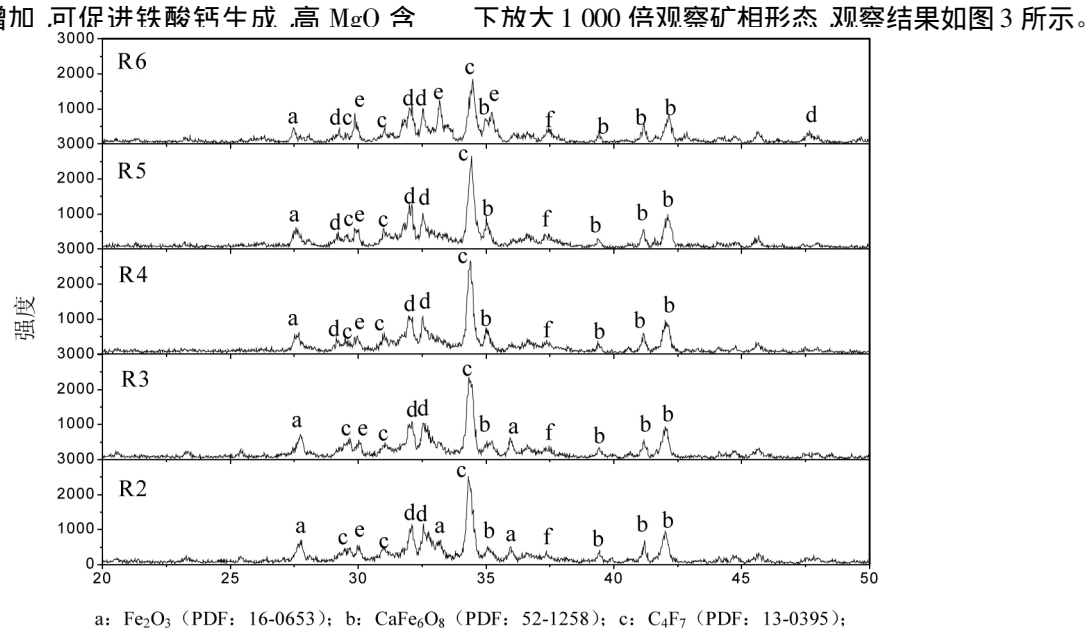
通过在铁酸钙中控制添加不同含量 MgO ,进行 焙烧后做 X 射线衍射分析 ,得到 XRD 图谱 ,如图 2 所示。

由图 2 可知 MgO 由 0.5%增加至 2.5% 烧结矿相种类、含量发生明显变化。其中 ,由 C_4F_7 衍射峰可看出 ,铁酸钙 $Ca_4Fe_{14}O_{25}$ 呈现先增大后减小的趋势 ,在 $1.5\%\sim2.0\%$ 附近取得最大值 ,即适量的 MgO 有助于铁酸钙生成; 镁固溶磁铁矿 $MgFe_2O_4$ 、CaO 的衍射峰在 MgO 为 2.0% 时显著增强 ,即 $MgFe_2O_4$ 、CaO 呈现先不变后增大的变化趋势; 同样由衍射峰强度观察得出 ,在检测的范围内 ,赤铁矿(Fe_2O_3) 含量呈降低趋势 ,铁酸半钙($Ca_2Fe_2O_5$) 的含量和具有亚铁价态的铁酸钙 $CaFe_4O_8$ 含量逐渐升高。

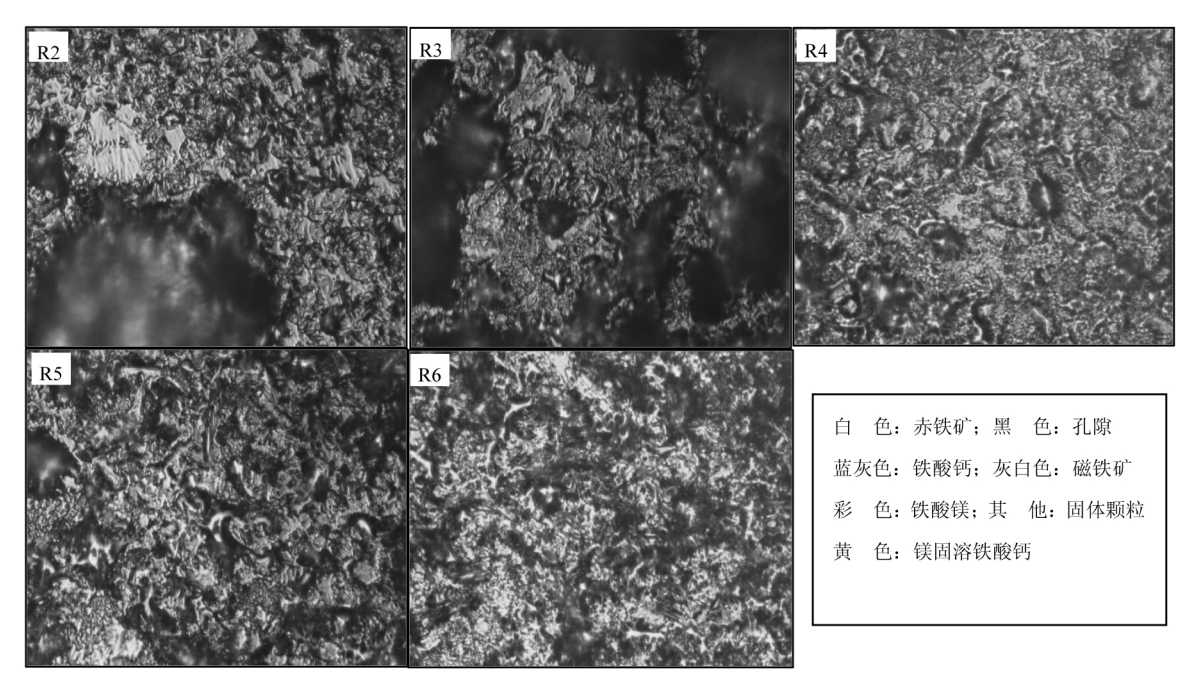
分析认为: 一方面是由于 MgO 促进了磁铁矿的 生成 矿相中 Fe_2O_3 含量减少 ,另一方面是由于 MgO 含量增加 ,降低了 Fe_2O_3 与 CaO 接触几率 ,增加了 Fe_2O_3 与 MgO 接触几率 ,铁酸钙生成量降低 ,铁酸镁含量增加; 另一方面磁铁矿含量增加 ,导致矿相中具

有亚铁价态的铁酸钙 $CaFe_6O_8$ 含量增加 同时 引起 CaO 含量的相对过剩 ,使得矿相中 $C_2F(Ca_2Fe_2O_5)$ 含量增加。综上所述 ,当 MgO 含量在 2.0% 以下时 ,随着 MgO 含量增加 .可促进铁酸钙生成 .高 MgO 含

量致使磁铁矿含量增加,铁酸钙含量减少。 3.2 MgO 含量烧结铁酸钙矿相结构影响 将试样进行加工、打磨和抛光后,在金相显微镜



d: C₂F (PDF: 4图 244)Mg© **独显对矿阳**KR**的**-图的影响 CaO (PDF: 48-1647) Fig. 2 XRD patterns showing effect of MgO content on ore phase



R2: w(MgO)=0.5%; R3: w(MgO)=1.0%; R4: w(MgO)=1.5%; R5: w(MgO)=2%; R6: w(MgO)=2.5%

图 3 MgO 对烧结铁酸钙矿相结构影响 Fig.3 Effect of MgO on sinter phase structure

由图 3 可知 将试样升温到 1 230 ℃并恒温 2 h, 矿相中已有大量液相生成。且液相区域随 MgO 含量 的增加而减小,由于二元系铁酸钙 CaO-Fe,O, 的液 相开始生成温度为 1 205 ℃左右。分析认为是过量 的 MgO 与 Fe,O, 反应生成高熔点物质 MgFe,O4(熔点 1 580 ℃) 以及磁铁矿阻碍了烧结液相生成; MgO 的 存在使矿相中生成了磁铁酸钙(CaFe₆O₈) 并随 MgO 含量的增加而增多,研究表明 MgO 与磁铁矿中亚铁 离子易发生置换形成镁固溶磁铁矿^[9] 但是 MgO 不 与铁酸一钙、铁酸半钙发生固溶。因此,含镁复合铁 酸钙可能是由 MgFe₂O₄ 与铁酸钙 CaFe₆O₈ 中亚铁之 间相互固溶生成,固溶机理如式(1)所示;随着 MgO 含量增加 磁铁矿及彩色矿相(铁酸镁)含量增多 蓝 灰色铁酸钙含量降低 矿相中黄色蜿蜒状物质含量先 随 MgO 含量增加而增加 MgO 含量超过 1.5%之后其 含量开始减少。黄色蜿蜒状物质主要在铁酸钙和

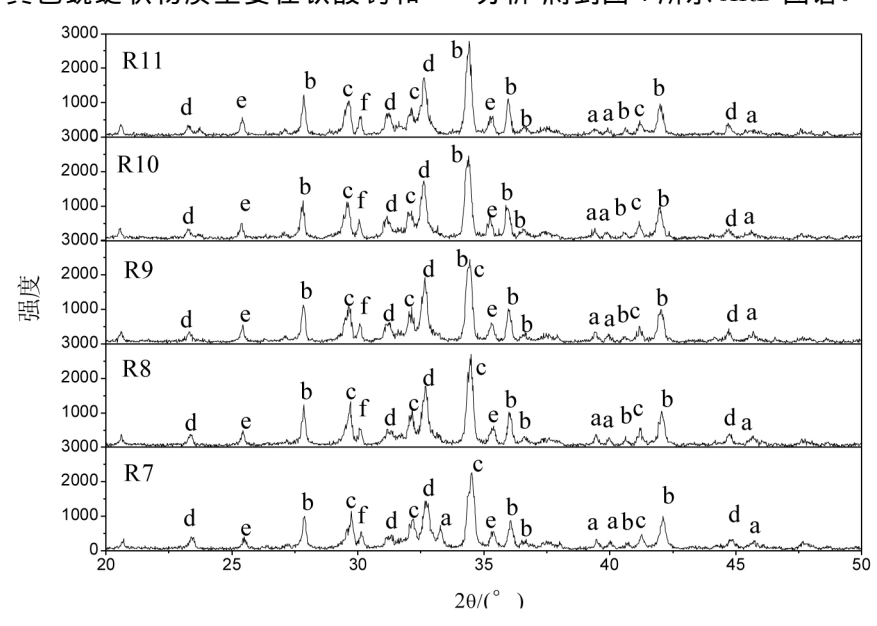
 $MgFe_2O_4$ 边界生成 尤其是在 $MgFe_2O_4$ 的周围形成环 绕状黄色互联的蜿蜒的铁酸钙 ,可见 , $MgFe_2O_4$ 与周 边存在的铁酸钙发生固溶行为。

MgO •
$$Fe_2O_3 + CaO$$
 • $2FeO$ • $2Fe_2O_3 \rightarrow CaO$ • (FeO MgO) • $2Fe_2O_3$ (1)

综合分析得出 ,当 MgO 含量低于 1.5% 时 ,含 MgO 复合铁酸钙含量增加较快 ,说明 MgO 参与上述 固溶反应形成镁固溶铁酸钙。MgO 含量超过 1.5% 后 ,尤其是 MgO 大于 2.0% 时 , Fe_3O_4 生成含量快速增加 ,MgO 主要固溶磁铁矿中; MgO 含量等于 2.0% 时 ,灰蓝色铁酸钙、镁固溶铁酸钙及磁铁矿之间相互 交织在一起 ,矿相结构较为理想。

3.3 Al₂O₃含量对铁酸钙生成机理的影响

将 R7($Al_2O_31.5\%$) 到 R11($Al_2O_33.5\%$) 烧结后的试样进行破碎、研磨和筛分,然后做 X 射线衍射分析,得到图 4 所示 XRD 图谱。



a: Fe_2O_3 (PDF: 16-0653); b: SFCA-I (PDF: 52-1258); c: C_4F_7 (PDF: 13-0395);

d: C₂F (PDF: 89-8669); e: CA₂ (PDF: 89-3851); f: CaAl₂Fe₄O₁₀ (PDF: 21-0830) 图 4 Al₂O₃ 含量对矿相 XRD 图的影响

Fig.4 XRD patterns showing effect of Al₂O₃ content on ore phase

由图 4 可知 $,R7 \sim R11$ 几组烧结后的试样中成分主要以不同形式的铁酸钙为主 ,并且含有少量的铝酸钙和赤铁矿。对不同 Al_2O_3 含量的各衍射峰进行对比发现 在所测范围内 随 Al_2O_3 含量的增加矿相中铁酸钙 C_4F_7 和赤铁矿 Fe_2O_3 衍射峰强度呈逐渐减弱趋势 与此同时 其它物质的衍射峰则呈现增强的趋势。分析认为 $,Al_2O_3$ 可以与铁酸钙发生固溶 ,且能够促进 Fe_2O_3 在铁酸钙中的溶解进而形成

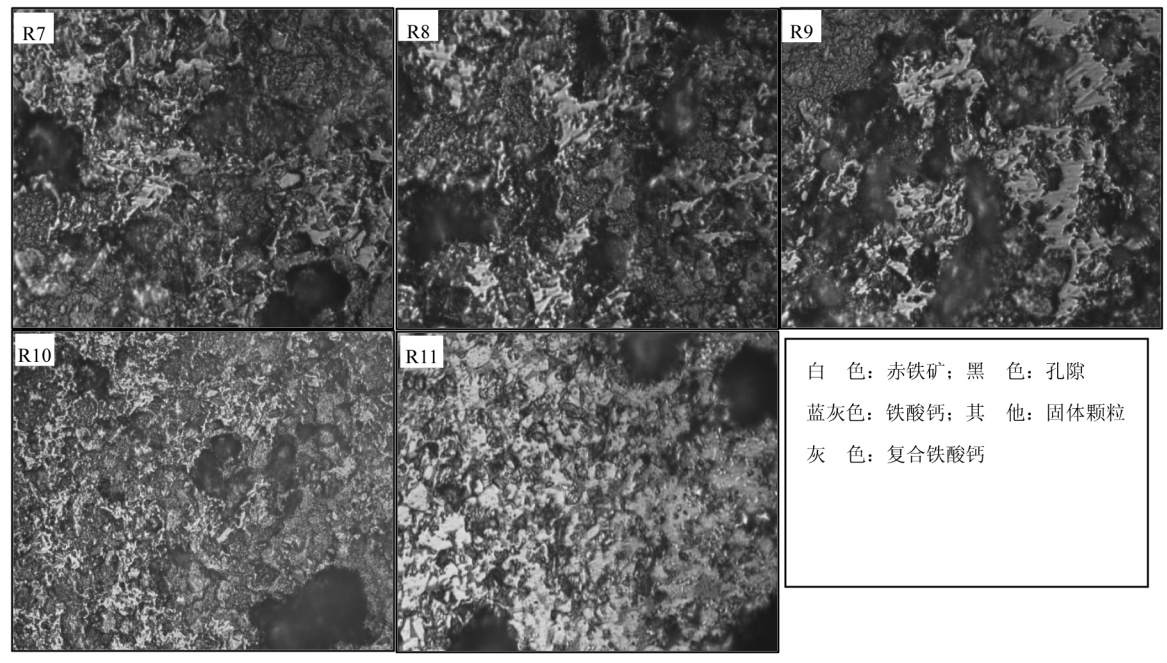
复合铁酸钙,因此,随着 Al_2O_3 含量增加,铁酸钙 C_4F_7 和 Fe_2O_3 含量逐渐减少,而复合铁酸钙 $SFCA-I_3CaAl_2Fe_4O_{10}$ 含量却随之升高;由于复合铁酸钙中 固溶了大量的 Fe_2O_3 ,这导致烧结矿中摩尔比 $CaO/Fe_2O_3>1$,进而 Al_2O_3 与 CaO 接触几率增加,促使 $C_2F_3CA_2$ 衍射峰有略微增强的趋势。随着 Al_2O_3 含量由 1.5%增加到 3.5% ,烧结试样的主要矿相由铁酸钙向复合铁酸钙转变。

3.4 Al₂O₃ 含量烧结铁酸钙矿相结构影响

重复 3.2 的操作 在金相显微镜下放大 1 000 倍 观察焙烧后试样的矿相结构形态 结果如图 5 所示。

观察图 5 可知 随着 Al_2O_3 含量的增加 ,复合铁酸钙的含量也在相继增长 ,当 $w(Al_2O_3)$ 增加到 3.5%时 ,试样中所含的主要矿相为铁酸钙和复合铁酸钙 ,这和 XRD 分析结果一致; 由矿相图中可看出 ,液相区域面积 Al_2O_3 含量增加也呈逐渐扩大的趋

势 当 $w(Al_2O_3) \ge 3.0\%$ 时 ,液相区域大幅度增加。 分析总结为 ,由于 Al_2O_3 能够促进液相生成 ,且较高 Al_2O_3 含量下液相较多 ,随即复合铁酸钙生成动力 学条件得到改善,利于铁酸钙、 Fe_2O_3 与 Al_2O_3 之间 固溶形成复合铁酸钙 ,所以 XRD 图中显示铁酸钙 C_4F_7 和 Fe_2O_3 衍射峰强度降低 ,而复合铁酸钙(SC-FA-I、CaAl₂Fe₄O₁₀) 衍射峰增强。 因此 , Al_2O_3 主要具有促进铁酸钙向复合铁酸钙转化的作用。



 $R7: \ w(Al_2O_3) = 1.5\%; \ R8: \ w(Al_2O_3) = 2.0\%; \ R9: \ w(Al_2O_3) = 2.5\%; \ R10: \ w(Al_2O_3) = 3.0\%; \ R11: \ w(Al_2O_3) = 3.5\%; \ R10: \ w(Al_2O_3) = 3.0\%; \ R11: \ w(Al_2O_3) = 3.5\%; \ R10: \ w(Al_2O_3) = 3.0\%; \ R11: \ w(Al_2O_3) = 3.0\%; \ R1: \ w(Al_2O_3) = 3.0\%;$

图 5 Al₂O₃ 对烧结铁酸钙矿相结构影响 Fig.5 Effect of Al₂O₂ on sinter phase structure

4 结论

 $1)~{
m MgO}$ 含量由 0.5% 增加至 1.5% ,利于铁酸钙生成; ${
m MgO}$ 含量超过 2.0%之后矿相中镁固溶磁铁矿 ${
m MgFe_2O_4}$ 、CaO 衍射峰增强 ,对铁酸钙生成不利 ,铁酸钙 ${
m Ca_4Fe_{14}O_{25}}$ 含量呈下降趋势。

2) 当 MgO 含量低于 1.5% 时 MgO 主要参与固溶反应形成镁固溶铁酸钙; MgO 含量增加超过 2% 时 高熔点物质 $MgFe_2O_4$ (熔点 1.580 °C) 以及磁铁矿 Fe_3O_4 含量增多 阻碍了烧结液相生成 、铁酸钙生成动力学条件恶化、降低铁酸钙含量。 MgO 含量等

于 2.0%时, 铁酸钙及磁铁矿之间相互交织在一起, 矿相结构较为理想。

3) Al_2O_3 含量增加 ,可以促进 Fe_2O_3 在铁酸钙中的固溶 ,复合铁酸钙($SFCA-I_xCaAl_2Fe_4O_{10}$) 含量也随之升高。烧结相主要矿相随着 Al_2O_3 含量的升高由铁酸钙向复合铁酸钙转变。

4) Al_2O_3 能够促进 CaO- Fe_2O_3 二元系液相生成,随着 Al_2O_3 含量由 1.5%增加到 3.5% 液相逐渐增多,复合铁酸钙生成动力学条件得到改善,利于铁酸钙、 Fe_2O_3 与 Al_2O_3 之间固溶形成复合铁酸钙,即 Al_2O_3 对铁酸钙向复合铁酸钙转化有重要促进的作用

参考文献

[1] Fan Xiaohui , Meng Jun , Chen Xuling , et al. Influence factors of calcium ferrite formation in iron ore sintering [J]. Journal of

Central South University (Natural Science), 2008, 39(6): 1125-1131.

(范晓慧, 孟君, 陈许玲, 等. 铁矿烧结中铁酸钙形成的影响因素[J]. 中南大学学报(自然科学版), 2008, 39(6): 1125-1131.)

- [2] Ye Kuangwu. Burden structure and concentrate of blast furnace [J]. Sintering and Pelletizing, 2001, 26(3):6-7. (叶匡吾. 高炉炉料结构与精料[J]. 烧结球团, 2001, 26(3):6-7.)
- [3] Guo Xingmin , Zhang Jun , Li Chunzeng , et al. Effect of magnesia on formation of calcium ferrites under the quasi-chemical equilibrium [J]. Iron and Steel , 2009(4): 19-20.
 - (郭兴敏,张俊,李春增,等.准化学平衡条件下 MgO 对多元铁酸钙生成的影响[J].钢铁,2009(4): 19-20.)
- [4] Ding Xiang. Study of the mechanism on formation of calcium ferrite in the Fe₂O₃-CaO-SiO₂ system [D]. Beijing: University of Science and Technology Beijing 2015: 6.
 - (丁祥.Fe,O3-CaO-SiO3系铁酸钙(SFC)生成机理研究[D].北京:北京科技大学 2015:6.)
- [5] Ding Xiang , Guo Xingmin. Effect of solid state SiO₂ on the formation process of binary calcium ferrite [J]. Iron and Steel , 2015 , 50(3):33–38.
 - (丁祥,郭兴敏. 固态下 SiO₂ 对二元铁酸钙形成过程的影响[J]. 钢铁, 2015, 50(3):33-38.)
- [6] Wu Shengli, Bei Jicheng, Zhu Juan, et al. Influence of chemical composition on liquid fluidity of ferrite [J]. Journal of University of Science and Technology Beijing 2015 27(9):7.
 - (吴胜利,贝纪承,朱娟, 等. 化学成分对铁酸盐烧结液相流动性的影响[J]. 钢铁研究学报 2015 27(9):7.)
- [7] Wu Shengli, Pei Yuandong, Chen Hui, et al. Evaluation on liquid phase fluidity of iron ore in sintering [J]. Journal of University of Science and Technology Beijing 2008 30(10):12.
 - (吴胜利 裴元东 陈辉 筹. 铁矿粉烧结液相流动性评价[J].北京科技大学学报 2008 30(10):12.)
- [8] Wu Shengli, Bian Miaolian, Wang Qingfeng, et al. Fusion characteristics of iron ore fines and evaluation method [J]. Journal of University of Science and Technology Beijing 2010, 32(12): 2.
 - (吴胜利 边妙莲, 汪清峰, 等.铁矿粉的烧结熔融特性及其评价方法[J].北京科技大学学报, 2010, 32(12):2.)
- [9] Yao Junhao , Yang Jun , Han Dong , et al. Effect of additives on formation of calcium ferrites in magnesiariched sinters [J]. Iron and Steel , 2015 , 50(2):12-16.
 - (姚君豪,杨军,韩冬,等.添加剂对高 MgO 烧结矿中铁酸钙生成的影响 [J]. 钢铁,2015,50(2):12-16.)
- [10] Wu Shengli , Han Hongliang , Jiang Weizhong , et al. MgO interaction mechanism in sinter [J]. Journal of University of Science and Technology Beijing , 2009 , 31(4): 428–432.
 - (吴胜利 韩宏亮 姜伟忠 等. 烧结矿中 MgO 作用机理[J]. 北京科技大学学报 2009 31(4):428-432.)
- [11] Jin Mingfang, Li Guangsen, Chu Mansen, et al. Diffusion between MgO and hematite during sintering [J]. Iron and Steel, 2008, 43(3):10-14.
 - (金明芳 李光森 储满生 等. 烧结过程中 MgO 在赤铁矿中的扩散行为的研究[J]. 钢铁 2008 43(3):10-14.)

编辑 杨冬梅

攀钢研究院参与的 ISO 标准通过国际会议审定

(11月28日消息)由 TC17/SC1 钢技术委员会化学成分测定方法分技术委员会组团出席的 ISO/TC17/SC 第29 次国际标准全体会议在法国巴黎召开 攀钢研究院理化测试研究所专家应邀代表攀钢参会。

会议审定通过了由理化测试研究所参与的国际标准 "ISO/TC17/SC1/SG5-N1 低合金钢测定 $Mn \times P \times Cr \times Ni \times Mo \times Co \times Cu \times V \times Ti \times As$ 和 Sn 等离子体原子发射光谱分析法"的标准草案。项目组在充分听取专家意见的基础上 将制定下一步的工作计划,征招 1-2 家国外实验室共同参与标准的起草工作,同时收集全部数据,完成数理统计等一系列工作。

据了解,这是攀钢研究院积极参与国际标准起草工作的又一重大举措,通过参加 ISO 国际会议可以了解和掌握国际标准起草的渠道、技术路线、方法要点、技术要求、实验要求及精密度实验安排等,对今后理化测试研究所国际标准起草工作具有重要的指导意义。

http://www.panyan.cn/morenews.aspx tag=1&id=258B89D22D5867E1